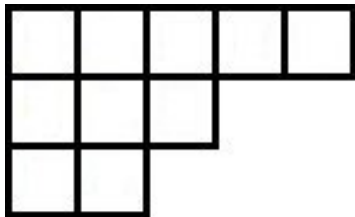


# Anti-Dyson limit shape

докладчики: Садреев Амир, Сенчуков Лев, Суспицын Константин  
руководитель: Никита Некрасов

# Диаграммы Юнга



$$10 = 5 + 3 + 2$$

Число разбиений для заданного числа  $n$ :

$$p \propto e^{c\sqrt{n}} \quad (1)$$

$$p(5) = 7 \quad p(20) = 627 \quad p(100) \approx 190 \cdot 10^6$$

# Случаная диаграмма Юнга

## Простейший случай

Можно ввести вероятностную меру на множестве диаграмм Юнга  
Рассмотри простейший случай:

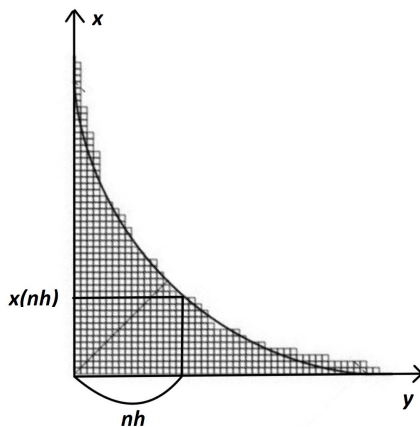
$$\mu_\lambda = q^{|\lambda|} \quad (2)$$

Для такой меры можно вычислить статсумму:

$$\mathcal{Z} = \prod_{n=0}^{\infty} \frac{1}{1 - q^n} \quad (3)$$

# Предельная форма

Введем переменные  $x$  и  $y$ , а также параметр  $h$  такой, что  $q = e^{-h}$



В пределе  $h \rightarrow 0$  Возникает предельная форма  $x(y)$ .

$$e^{-x} + e^{-y} = 1 \quad (4)$$

Такая кривая, что

$$\langle (x - x(y))^2 \rangle = h^2 \sum_{\ell=0}^{\infty} \frac{\ell e^{-\ell y}}{1 - e^{-\ell h}} \rightarrow 0 \quad (5)$$

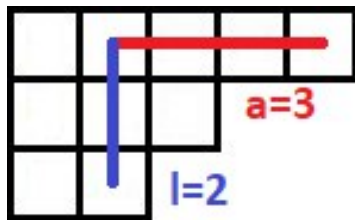
# Случайная диаграмма Юнга

## Модифицированная мера

В некоторых теориях возникает другое выражение для  $\mu_\lambda$ :

$$\mu_\lambda = \prod_{(i,j) \in \lambda} q^{\frac{((\ell+1)\varepsilon_1 - a\varepsilon_2 + \varepsilon_3)(-\ell\varepsilon_1 + (a+1)\varepsilon_2 + \varepsilon_3)}{((\ell+1)\varepsilon_1 - a\varepsilon_2)(-\ell\varepsilon_1 + (a+1)\varepsilon_2)}} \quad (6)$$

$$\varepsilon_1, \varepsilon_2 \in \mathbb{C}$$



# Предельные случаи

Можно также рассмотреть различные предельные случаи данной меры:

1) Мера Планшереля

$$q \rightarrow 0, \quad \varepsilon_3 \rightarrow \infty, \quad q\varepsilon_3^2 = \Lambda^2$$
$$\mu_\lambda = \prod_{(i,j) \in \lambda} \frac{-\Lambda^2}{((\ell+1)\varepsilon_1 - a\varepsilon_2)(-\ell\varepsilon_1 + (a+1)\varepsilon_2)} \quad (7)$$

2) Равномерная мера

$$\varepsilon_3 \rightarrow 0$$
$$\mu_\lambda = q^{|\lambda|} \quad (8)$$

# Y наблюдаемая

Введем наблюдаемые:

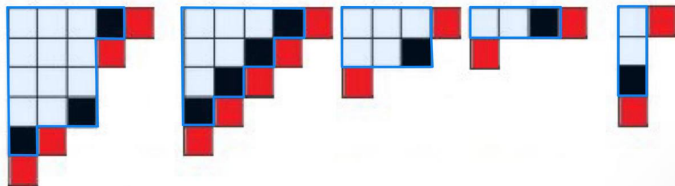
$$c_{ij} = \varepsilon_1(i-1) - \varepsilon_2(j-1) \quad (9)$$

$$C(x) = \prod_{(i,j) \in \lambda} (x - c_{ij}) \quad (10)$$

$$Y(x)|_{\lambda} = x \frac{C(x - \varepsilon_1)C(x - \varepsilon_2)}{C(x)C(x - \varepsilon_1 - \varepsilon_2)} \quad (11)$$

$Y(x)$  можно переписать в ином виде

$$Y(x)|_{\lambda} = \frac{\prod_{\square \in \partial_+ \lambda} (x - c_{\square})}{\prod_{\blacksquare \in \partial_- \lambda} (x - c_{\blacksquare})} \quad (12)$$





## qq - характер

Рассмотрим коррелятор  $\langle Y(x + \varepsilon_1 + \varepsilon_2) + \frac{\Lambda^2}{Y(x)} \rangle$  с мерой

$\mu_\lambda = \prod_{(i,j) \in \lambda} \frac{\Lambda^2}{((\ell+1)\varepsilon_1 - a\varepsilon_2)(-\ell\varepsilon_1 + (a+1)\varepsilon_2)}$ . Оказывается, такой коррелятор не имеет полюсов.

$$Y(x) = x + O(1), x \rightarrow \infty \quad (13)$$

$$\langle Y(x + \varepsilon_1 + \varepsilon_2) + \frac{\Lambda^2}{Y(x)} \rangle = (x + \varepsilon_1 + \varepsilon_2) \mathcal{Z} \quad (14)$$

Отсюда получаем уравнения Швингера-Дайсона:

$$0 = \varepsilon_1 \varepsilon_2 \langle |\lambda| \rangle + \Lambda \langle 1 \rangle \quad (15)$$

$$0 = \varepsilon_1 \varepsilon_2 \frac{\Lambda}{2} \frac{d}{d\Lambda} \mathcal{Z} + \Lambda^2 \mathcal{Z} \quad \mathcal{Z} = e^{-\frac{\Lambda^2}{\varepsilon_1 \varepsilon_2}} \quad (16)$$

## Предельная форма

$$y(x) = \langle\langle Y(x) \rangle\rangle \quad (17)$$

В пределе

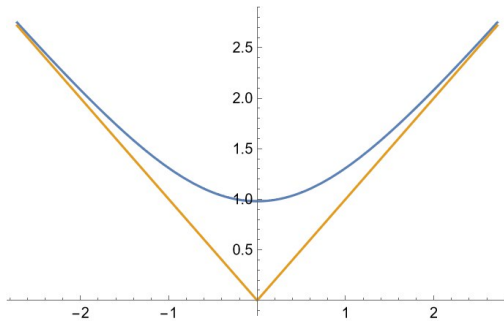
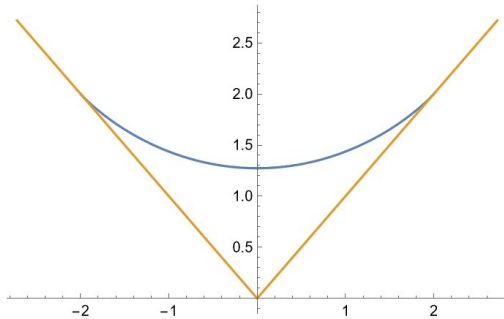
$$\varepsilon_1, \varepsilon_2 \rightarrow 0 \quad (18)$$

$$y + \frac{\Lambda^2}{y} = x \quad y = \frac{1}{2}(x + \sqrt{x^2 - 4\Lambda^2}) \quad (19)$$

Предельная форма может быть найдена из уравнения

$$y(x) = \exp\left(\frac{1}{2} \int_{-\infty}^{+\infty} f''(t) \log(x - t) dt\right) \quad (20)$$

$$f''(x) = \frac{2}{\pi \sqrt{4\Lambda^2 - x^2}} \quad (21)$$



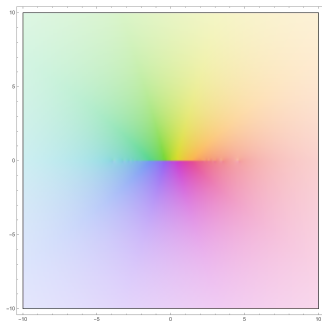
# $Y(x)$ для равномерной меры

случай  $\varepsilon_1 = -\varepsilon_2$

$$f(t) = \sqrt{2} \log(2 \cosh(\frac{t}{\sqrt{2}})) \quad (22)$$

$$y(x) = \exp(\frac{1}{2} \int_{-\infty}^{+\infty} f''(t) \log(x - \sqrt{2} t \varepsilon_1)) \quad (23)$$

$$y(x) = \frac{i\pi\varepsilon_1}{2} \exp(\frac{i\pi}{2\varepsilon_1} x - \frac{i}{\pi} \psi(\frac{1}{2} + \frac{x}{2i\pi\varepsilon_1}) - \gamma(\frac{i}{\pi} + 1) - \frac{2i}{\pi} \log(2)) \quad (24)$$



# Что еще можно сделать?

- 1) Рассмотрение в случае меры более общего вида ( $\varepsilon_1 \neq -\varepsilon_2$ , произвольный  $\varepsilon_3$ )
- 2) Исследование физических приложений (четырехмерные суперсимметричные калибровочные теории, теория струн)